

Blatt 6 Aufg II Basis \rightarrow Hilbertbasis

Erinnerung: Modell des Ammoniakmoleküls (NH_3)

niedrigste Eigenzustände

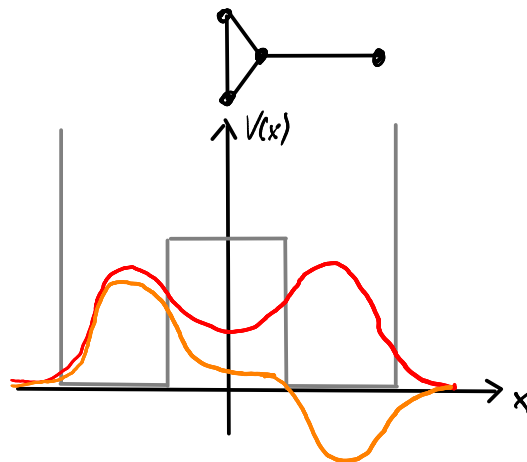
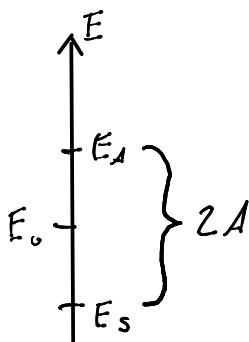
mit Eigenenergien

$$|\psi_s\rangle$$

$$E_s = \frac{(\hbar k_s)^2}{2m}$$

$$|\psi_A\rangle$$

$$E_A = \frac{(\hbar k_A)^2}{2m}$$



Alle anderen Eigenzustände (auch des vollen Modells) liegen sehr viel höher in Energie.

$E_A - E_s =: 2A$, wobei A gegeben ist durch die Form des Potentials. Für das vereinfachte Kastenpotential $A \approx \frac{\hbar^2 \pi^2}{2ma^2} \frac{4 e^{-K\Delta}}{K a}$ mit $K = \sqrt{2m(V_0 - E)}/\hbar$

$$2A \sim 10^{-4} \text{ eV} \quad \text{für } \text{NH}_3 \text{ aus Experimenten}$$

$$E_A - E_{s/A} \sim 0,12 \text{ eV}$$

Bei einer Temperatur T ist das Verhältnis der Besetzungen der Energieniveaus E_i und E_j durch das Boltzmann-Gesetz gegeben:

$$\frac{N(E_j)}{N(E_i)} = e^{-(E_j - E_i)/k_B T} \quad \dots k_B \text{ Boltzmann-Konst.}$$

$$T \sim 100 \text{ K} \quad N(E_S) / N(E_A) \sim 1$$

$$N(E_1) / N(E_{S/A}) \sim 10^{-6}$$

Das heißt bei einer Temperatur von $T \approx 100 \text{ K}$ sind vor allem die E_S und E_A besetzt. Daher können wir einen effektiven Hilbertraum mit 2 Energieniveaus zur Beschreibung von $N(t)$ benutzen

$|\psi_S\rangle = \begin{pmatrix} 1 \\ 0 \end{pmatrix}$ und $|\psi_A\rangle = \begin{pmatrix} 0 \\ 1 \end{pmatrix}$ bilden eine Basis, jeder beliebige Zustand läßt sich schreiben als

$$|\psi\rangle = \lambda |\psi_S\rangle + \mu |\psi_A\rangle = \begin{pmatrix} \lambda \\ \mu \end{pmatrix} \text{ mit } |\lambda|^2 + |\mu|^2 = 1$$

$$\lambda, \mu \in \mathbb{C}$$

Der Hamilton Operator in dieser Basis läßt sich schreiben als

$$H = \begin{pmatrix} E_S & 0 \\ 0 & E_A \end{pmatrix} = E_S |\psi_S\rangle \langle \psi_S| + E_A |\psi_A\rangle \langle \psi_A|$$

Zeitentwicklung eines Zustands $|\psi\rangle$

$$i\hbar \frac{d}{dt} |\psi(t)\rangle = \hat{H} |\psi(t)\rangle$$

Sei i) $|\psi(t=0)\rangle = |\psi_s\rangle \rightarrow \hat{H} |\psi_s\rangle = \begin{pmatrix} E_s & 0 \\ 0 & E_A \end{pmatrix} \begin{pmatrix} 1 \\ 0 \end{pmatrix} = E_s \begin{pmatrix} 1 \\ 0 \end{pmatrix}$

$$\rightarrow |\psi(t)\rangle = e^{-iE_s t/\hbar} |\psi_s\rangle$$

stationärer Zustand

ii) $|\psi(t=0)\rangle = |\psi_A\rangle \rightarrow |\psi(t)\rangle = e^{-iE_A t/\hbar} |\psi_A\rangle$

$$|\psi(t=0)\rangle = \lambda |\psi_s\rangle + \mu |\psi_A\rangle$$

$$\begin{aligned} \rightarrow |\psi(t)\rangle &= \lambda e^{-iE_s t/\hbar} |\psi_s\rangle + \mu e^{-iE_A t/\hbar} |\psi_A\rangle \\ &= e^{-iE_s t/\hbar} \left(\lambda |\psi_s\rangle + \mu e^{-i(E_A - E_s)t/\hbar} |\psi_A\rangle \right) \end{aligned}$$

nicht nur globale Phase

\Leftrightarrow Zeitabhängige Phasendifferenz wird in den Messgrößen auftreten \Leftrightarrow kein stationärer Zustand

Was für Auswirkungen hat diese Zeitentwicklung auf physikalische Größen?

Wir können zum Beispiel die 'Position' von dem N-Atom messen.

$$|\psi_s\rangle = \frac{1}{\sqrt{2}} (|\psi_L\rangle + |\psi_R\rangle), \quad |\psi_A\rangle = \frac{1}{\sqrt{2}} (|\psi_L\rangle - |\psi_R\rangle)$$

$|\psi_L\rangle$ hat eine starke Aufenthaltswahrscheinlichkeit im linken Topf, $|\psi_R\rangle$ im rechten.

$$\hat{X}|\psi_L\rangle = -|\psi_L\rangle \quad \hat{X}|\psi_R\rangle = |\psi_R\rangle$$

d.h. in der Basis $|\psi_L\rangle, |\psi_R\rangle$:

$$\hat{X} = |\psi_R\rangle\langle\psi_R| - |\psi_L\rangle\langle\psi_L|$$

in der Basis $|\psi_{A,s}\rangle$: $\hat{X} = \begin{pmatrix} 0 & 1 \\ 1 & 0 \end{pmatrix}$

$$\langle X(t) \rangle = \langle \psi(t) | \hat{X} | \psi(t) \rangle = \lambda^*$$

$$\overset{''}{(\lambda^*(t) \mu^*(t))} \begin{pmatrix} 0 & 1 \\ 1 & 0 \end{pmatrix} \begin{pmatrix} \lambda(t) \\ \mu(t) \end{pmatrix}$$

$$= \lambda^* \mu e^{-i\omega_0 t} + \lambda \mu^* e^{i\omega_0 t} \quad \text{mit } \hbar\omega_0 = 2A.$$

$$\text{für } \lambda = \mu = \frac{1}{\sqrt{2}}$$

$$\langle X(t) \rangle = \cos \omega_0 t$$

Das N-Atom oszilliert zwischen dem rechten und linken Topf mit der Frequenz ω_0 . Es 'tunnelt' zwischen den Töpfen und es heißt 'Inversion des Ammoniak-moleküls'

Experimentell findet man $\frac{\omega_0}{2\pi} \sim 24 \text{ GHz}$, $T \sim 4,2 \cdot 10^{-11} \text{ s}$

Das Ammoniak Molekül in einem elektrischen Feld

Wir werden im Folgenden das Funktionsprinzip eines Masers (microwave amplification by stimulated emission of radiation) innerhalb des entwickelten 2 Zustandsformalismus erklären.

Kopplung von NH_3 zu einem elektrischen Feld
N-Atom zieht Elektronen an \leftrightarrow elektrisches Dipolmoment D

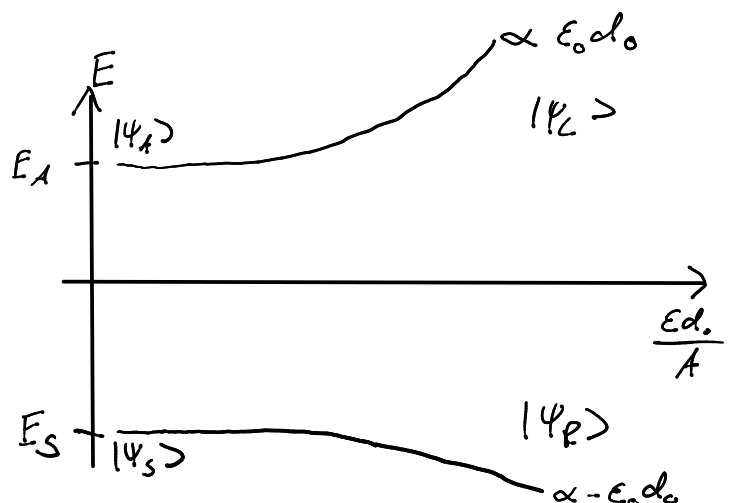
$$\hat{D} = d_0 \hat{X} \quad \text{mit } d_0 \sim 3 \cdot 10^{-11} \text{ eV}/(\text{V/m})$$

$$= \begin{pmatrix} 0 & d_0 \\ d_0 & 0 \end{pmatrix}$$

Potenfielle Energie Observable: $\hat{W} = -\epsilon \hat{D} = \begin{pmatrix} 0 & -\eta \\ -\eta & 0 \end{pmatrix}$
 \uparrow
elektrisches Feld
 $\eta = \epsilon \cdot d_0$

Gesamter Hamilton-Operator:

$$\hat{H} = \begin{pmatrix} E_0 + A & -\eta \\ -\eta & E_0 + A \end{pmatrix}$$



Eigenwerte

$$E_- = E_0 - \sqrt{A^2 + \eta^2} \quad |\psi_- \rangle = \begin{pmatrix} \cos \vartheta \\ \sin \vartheta \end{pmatrix}$$

$$E_+ = E_0 + \sqrt{A^2 + \eta^2} \quad |\psi_+ \rangle = \begin{pmatrix} -\sin \vartheta \\ \cos \vartheta \end{pmatrix}$$

mit $\tan 2\vartheta = \eta/A - \pi/4 < \vartheta < \pi/4$

kleines Feld ($\eta \ll A$) $E_{\mp} \approx E_0 \mp (A + \frac{d_0^2 \epsilon^2}{2A})$

quadratischer Anstieg / Abfall in ϵ

$$|\psi_- \rangle \approx |\psi_S \rangle + \frac{d_0 \epsilon}{2A} |\psi_A \rangle$$

$$|\psi_+ \rangle \approx |\psi_A \rangle - \frac{d_0 \epsilon}{2A} |\psi_S \rangle$$

und $\langle \psi_{\mp} | \hat{D} | \psi_{\mp} \rangle \approx \pm \underbrace{\frac{d_0^2}{A}}_{\text{polarisierbarkeit des Moleküls}} \epsilon$

starkes Feld ($\eta \gg A$) $E_{\pm} \approx E_0 \pm \epsilon d_0$

$$|\psi_- \rangle \approx |\psi_K \rangle$$

$$|\psi_+ \rangle \approx -|\psi_L \rangle$$

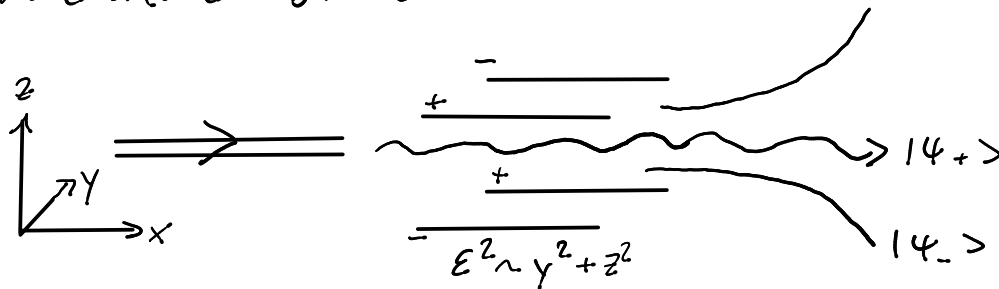
Näherung gilt nur solange $E_+ \ll E_1$

inhomogenes elektrisches Feld:

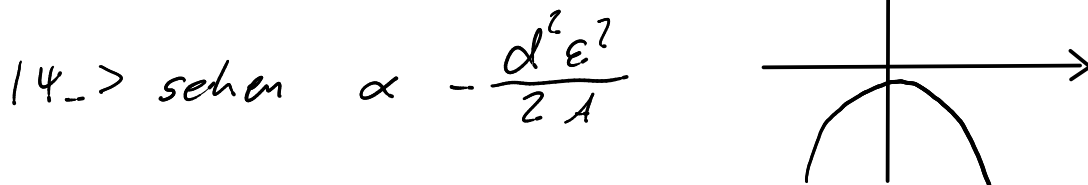
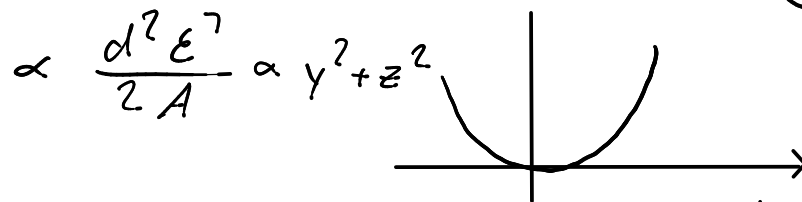
In einem schwachen Feld kann der Term $\pm \frac{d_0^2 \mathcal{E}^2}{2A}$ als ein Potential interpretiert werden, welches unterschiedliche Vorzeichen für den Zustand $|\psi_+ \rangle$ und $|\psi_- \rangle$ hat.

Eine Kraft $F_{\pm} = \pm \nabla \left(\frac{d_0^2 \mathcal{E}^2(\vec{r})}{2A} \right)$ wirkt, die vom Zustand abhängt

Molekularer Strahl



$|\psi_+ \rangle$ sehen harmonisches Potential in yz Ebene



Strahl der Moleküle wird separiert nur die $|\psi_+ \rangle \sim |\psi_1 \rangle$ 'angeregten' Moleküle bleiben fokussiert

Populationsinversion

Stimulierte Emission

Bei der stimulierten Emission zwingt man die Moleküle vom Zustand $|\psi_A\rangle \rightarrow |\psi_S\rangle$

Dabei verlieren sie die Energie $2A$, die sie als Photon ausstrahlen. Dieser Prozess passiert auch spontan, jedoch mit einer Lebensdauer von einem Monat.

Wir betrachten ein oszillierendes elektrisches Feld
 $E = E_0 \cos(\omega t)$

$$\hat{H}(t) = \begin{pmatrix} E_0 - A & -\eta \cos(\omega t) \\ -\eta \cos(\omega t) & E_0 + A \end{pmatrix} \quad \text{explizit Zeitabhängig}$$

$\eta = E_0 d_0$

Wollen die Schrödingergleichung lösen:

$$i\hbar \frac{d}{dt} |\psi(t)\rangle = \hat{H}(t) |\psi(t)\rangle$$

$|\psi(t)\rangle = \begin{pmatrix} a(t) \\ b(t) \end{pmatrix}$ einsetzen in die Schrödingergleichung

$$i\hbar \dot{a}(t) = (E_0 - A)a(t) - \eta \cos(\omega t) b(t)$$

$$i\hbar \dot{b}(t) = (E_0 + A)b(t) - \eta \cos(\omega t) a(t)$$

Ansatz:

$$a(t) = e^{-i(E_0 - A)t/\hbar} \alpha(t)$$

...(Blatt 7)

$$b(t) = e^{-i(E_0 + A)t/\hbar} \beta(t)$$

einsetzen und
ausrechnen

$$2i\alpha = -\omega_1 \beta(t) \left(e^{i(\omega - \omega_0)t} + e^{-i(\omega + \omega_0)t} \right)$$

$$2i\beta = -\omega_1 \alpha(t) \left(e^{-i(\omega - \omega_0)t} + e^{i(\omega + \omega_0)t} \right)$$

mit $\hbar\omega_0 = 2A$, $\hbar\omega_1 = \eta$

(exakte numerische Lösung siehe Übung 7)

Für $\omega \approx \omega_0$ (nahe Resonanz) gilt $\omega - \omega_0 \ll \omega + \omega_0$.

'Rotating Wave Approximation (RWA)' man vernachlässigt die schnell rotierenden Terme.

$$\hookrightarrow 2i\ddot{\alpha}(t) = -\omega_1 \dot{\beta}(t) e^{i(\omega - \omega_0)t} - \omega_1 \beta(t) i(\omega - \omega_0) e^{i(\omega - \omega_0)t}$$

einsetzen der 2. Gleichung

$$\Rightarrow \ddot{\alpha}(t) - i\dot{\alpha}(t)(\omega - \omega_0) + \frac{\omega_1^2}{4}\alpha(t) = 0$$